

УДК 531.38

©2007. П.Е. Рябов

## АЛГЕБРАИЧЕСКИЕ КРИВЫЕ И БИФУРКАЦИОННЫЕ ДИАГРАММЫ ДВУХ ИНТЕГРИРУЕМЫХ ЗАДАЧ

В статье приводится построение бифуркационных диаграмм двух интегрируемых по Лиувиллю гамильтоновых систем на основе выделения действительной части алгебраических поверхностей, ассоциированных с этими системами. Первая система отвечает новому случаю интегрируемости уравнений Кирхгофа, обнаруженному В.В. Соколовым. Вторая описывает движение гиростата Ковалевской в двойном силовом поле.

**1. Введение.** Система уравнений Кирхгофа в безразмерных переменных

$$\begin{aligned} \dot{s}_1 &= -s_2(s_3 + \lambda), & \dot{r}_1 &= r_3 s_2 - 2r_2 s_3 - \lambda r_2 + a(r_2^2 + r_3^2), \\ \dot{s}_2 &= s_1(s_3 + \lambda) - br_3 + a(r_1 s_2 - r_2 s_1), & \dot{r}_2 &= -s_1 r_3 + 2r_1 s_3 + \lambda r_1 - ar_1 r_2, \\ \dot{s}_3 &= br_2 + a(r_1 s_3 - s_1 r_3), & \dot{r}_3 &= s_1 r_2 - s_2 r_1 - ar_1 r_3 \end{aligned} \quad (1)$$

содержит произвольные постоянные  $a, b, \lambda$ , имеющие определенный физический и механический смысл [1] (см. также [2]). Систему (1) можно записать в гамильтоновом виде на  $\mathbb{R}^6$  следующим образом:

$$\dot{\mu}_i = \{\mu_i, H\}. \quad (2)$$

Здесь  $\mu = (\mathbf{s}, \mathbf{r}) \in \mathbb{R}^6$ , а гамильтониан

$$H = \frac{1}{2}(s_1^2 + s_2^2 + 2s_3^2) + \lambda s_3 + br_1 + a(r_3 s_2 - r_2 s_3)$$

представляет собой энергию системы “тело–жидкость”. Векторы  $\mathbf{s}$ ,  $\mathbf{r}$  называются соответственно импульсивным моментом и импульсивной силой. Параметр гиростатического момента  $\lambda$  можно связать с циркуляцией жидкости через отверстия в теле [3]. Скобка Пуассона в (2) на пространстве  $\mathbb{R}^6$  для координатных функций определяется так:

$$\{s_i, s_j\} = \varepsilon_{ijk} s_k, \quad \{s_i, r_j\} = \varepsilon_{ijk} r_k, \quad \{r_i, r_j\} = 0. \quad (3)$$

Два геометрических первых интеграла системы (1)

$$F_1 = r_1^2 + r_2^2 + r_3^2, \quad F_2 = s_1 r_1 + s_2 r_2 + s_3 r_3$$

являются функциями Казимира относительно структуры (3).

Векторное поле (1), ограниченное на четырехмерное многообразие

$$M^4 = \{(\mathbf{s}, \mathbf{r}) \in \mathbb{R}^6 : F_1 = c^2, F_2 = g\} \cong T^*\mathbb{S}^2,$$

порождает гамильтонову систему с двумя степенями свободы. Таким образом, для интегрируемости по Лиувиллю, кроме функций Казимира  $F_1, F_2$  и гамильтониана  $H$ , необходимо наличие одного дополнительного интеграла. Легко показать, что функция

$$F = \left[ \frac{s_1^2}{2} - \frac{s_2^2}{2} - br_1 + a(r_2s_3 - r_3s_2) - \frac{a^2c^2}{2} \right]^2 + [s_1s_2 - br_2 + a(s_1r_3 - r_1s_3)]^2 - \lambda(s_3 + \lambda)(s_1^2 + s_2^2) + \lambda[2bs_1r_3 + 2as_1(r_2s_1 - s_2r_1) + a^2c^2s_3]$$

коммутирует на  $M^4$  с гамильтонианом  $H$  относительно скобки Пуассона (3). Отметим, что интеграл  $F$  не является новым, поскольку функционально связан на  $M^4$  с интегралом, обнаруженным В.В. Соколовым в 2001 году [4]. С точностью до переобозначений переменных эта связь с выражением  $I_4$  (см. [4–6]) выглядит следующим образом:

$$F = \frac{1}{4}(2H + a^2c^2)^2 - a^2F_2^2 + b^2c^2 - I_4. \quad (4)$$

При  $\lambda = 0$  в работе [7] найдено разделение переменных. Не ограничивая общности, полагаем в дальнейшем, что  $a = 1, c = 1$ .

Рассмотрим другую систему, связанную с гиростатом Ковалевской в двойном поле сил, которая также является гамильтоновой, но уже с тремя степенями свободы. Соответствующая система дифференциальных уравнений в безразмерных переменных имеет вид

$$\begin{aligned} 2\dot{\omega}_1 &= \omega_2(\omega_3 - \lambda) + \beta_3, & \dot{\alpha}_1 &= \alpha_2\omega_3 - \alpha_3\omega_2, & \dot{\beta}_1 &= \beta_2\omega_3 - \omega_2\beta_3, \\ 2\dot{\omega}_2 &= -\omega_1(\omega_3 - \lambda) - \alpha_3, & \dot{\alpha}_2 &= \omega_1\alpha_3 - \omega_3\alpha_1, & \dot{\beta}_2 &= \omega_1\beta_3 - \omega_3\beta_1, \\ \dot{\omega}_3 &= \alpha_2 - \beta_1, & \dot{\alpha}_3 &= \alpha_1\omega_2 - \alpha_2\omega_1, & \dot{\beta}_3 &= \beta_1\omega_2 - \beta_2\omega_1. \end{aligned} \quad (5)$$

Система (5) представляется в гамильтоновом виде (2) на пространстве  $\mathbb{R}^9(\boldsymbol{\omega}, \boldsymbol{\alpha}, \boldsymbol{\beta})$  с гамильтонианом

$$H = \frac{1}{2}(2\omega_1^2 + 2\omega_2^2 + \omega_3^2) - \alpha_1 - \beta_2.$$

Здесь  $\boldsymbol{\omega}$  – вектор мгновенной угловой скорости, векторы  $\boldsymbol{\alpha}, \boldsymbol{\beta}$  характеризуют направление и интенсивность действия силовых полей. Как показано в [8], векторы  $\boldsymbol{\alpha}, \boldsymbol{\beta}$  без ограничения общности можно считать взаимно ортогональными. Обозначения силовых полей, порядок и направление осей выбраны так, чтобы выполнялось неравенство

$$|\boldsymbol{\alpha}| \geq |\boldsymbol{\beta}|. \quad (6)$$

Скобки Пуассона на  $\mathbb{R}^9$  получаются из введенных в работе [9]

$$\begin{aligned} \{M_i, M_j\} &= \varepsilon_{ijk}M_k, & \{M_i, \alpha_j\} &= \varepsilon_{ijk}\alpha_k, & \{M_i, \beta_j\} &= \varepsilon_{ijk}\beta_k, \\ \{\alpha_i, \alpha_j\} &= 0, & \{\alpha_i, \beta_j\} &= 0, & \{\beta_i, \beta_j\} &= 0, \end{aligned} \quad (7)$$

если положить  $M_1 = 2\omega_1$ ,  $M_2 = 2\omega_2$ ,  $M_3 = \omega_3 + \lambda$ . Геометрические интегралы системы (5)

$$F_1 = \alpha_1^2 + \alpha_2^2 + \alpha_3^2, \quad F_2 = \beta_1^2 + \beta_2^2 + \beta_3^2, \quad F_3 = \alpha_1\beta_1 + \alpha_2\beta_2 + \alpha_3\beta_3$$

являются функциями Казимира для таких скобок. Векторное поле (5), ограниченное на шестимерное многообразие

$$M^6 = \{(\boldsymbol{\omega}, \boldsymbol{\alpha}, \boldsymbol{\beta}) \in \mathbb{R}^9 : F_1 = a^2, F_2 = b^2, F_3 = 0\} \cong TSO(3),$$

порождает гамильтонову систему с тремя степенями свободы. Отметим, что поскольку система определена на касательном расслоении, то скобки Пуассона на  $\mathbb{R}^9$  содержат параметр  $\lambda$ , а гамильтониан – нет.

Система (5) на  $M^6$  в действительности имеет лишь один существенный параметр, который выражает отношение числовых характеристик силовых полей

$$m = \frac{b}{a}$$

и, согласно (6), лежит в пределах  $0 \leq m \leq 1$ . Кроме того, в силу произвола в выборе единицы измерения длин  $\boldsymbol{\alpha}, \boldsymbol{\beta}$ , можно полагать  $a = 1$ . При  $m = 0$  система описывает движение гиростата в поле силы тяжести при условиях С.В. Ковалевской на распределение масс, а при  $m = 1$  – случай Х.М. Яхни [10] (см. также [11]). Эти предельные значения обладают группой симметрий и сводятся к семейству интегрируемых систем с двумя степенями свободы. Далее предполагается, что  $0 < m < 1$ .

Для интегрируемости по Лиувиллю, кроме функций Казимира  $F_1, F_2, F_3$  и гамильтониана  $H$ , необходимо наличие двух дополнительных интегралов. Функции

$$\begin{aligned} K &= (\omega_1^2 - \omega_2^2 + \alpha_1 - \beta_2)^2 + (2\omega_1\omega_2 + \alpha_2 + \beta_1)^2 + \\ &\quad + 2\lambda[(\omega_1^2 + \omega_2^2)(\omega_3 - \lambda) + 2\omega_1\alpha_3 + 2\omega_2\beta_3], \\ G &= \left[ \omega_1\alpha_1 + \omega_2\alpha_2 + \frac{1}{2}\alpha_3(\omega_3 + \lambda) \right]^2 + \left[ \omega_1\beta_1 + \omega_2\beta_2 + \frac{1}{2}\beta_3(\omega_3 + \lambda) \right]^2 + \\ &\quad + (\omega_3 - \lambda) \left[ (\alpha_2\beta_3 - \alpha_3\beta_2)\omega_1 + (\alpha_3\beta_1 - \alpha_1\beta_3)\omega_2 + \right. \\ &\quad \left. + \frac{1}{2}(\alpha_1\beta_2 - \alpha_2\beta_1)(\omega_3 + \lambda) \right] - \alpha_1 m^2 - \beta_2 \end{aligned}$$

вместе с  $H$  образуют на  $M^6 = \{(\boldsymbol{\omega}, \boldsymbol{\alpha}, \boldsymbol{\beta}) \in \mathbb{R}^9 : F_1 = 1, F_2 = m^2, F_3 = 0\}$  полный инволютивный набор интегралов относительно скобки Пуассона (7). Функции  $K$  и  $G$  указаны в [11].

Напомним некоторые определения [12]. Пусть  $M^{2n}$  – симплектическое многообразие с интегрируемой по Лиувиллю гамильтоновой системой  $v =$

$= \text{sgrad } H$ , и  $f_1, \dots, f_n$  – ее независимые (почти всюду) интегралы, находящиеся в инволюции. Определим гладкое отображение

$$\mathcal{F} : M^{2n} \rightarrow \mathbb{R}^n,$$

полагая  $\mathcal{F}(x) = (f_1(x), \dots, f_n(x))$ . Отображение  $\mathcal{F}$  называется *отображением момента*. Точка  $x$  из  $M^{2n}$  называется *критической (или особой) точкой отображения момента*  $\mathcal{F}$ , если ранг  $d\mathcal{F}(x)$  меньше  $n$ . Ее образ в  $\mathbb{R}^n$  называется *критическим значением*. Пусть  $\mathcal{K}$  – совокупность всех критических точек отображения момента. Образ  $\mathcal{K}$  при отображении момента, т.е. множество  $\Sigma = \mathcal{F}(\mathcal{K}) \subset \mathbb{R}^n$ , называется *биfurкационной диаграммой*. В данной статье приводятся бифуркационные множества обеих задач и их *атласы* в пространстве параметров. Атлас (разделяющее множество) позволяет классифицировать все бифуркационные диаграммы.

**2. Бифуркационное множество интегрируемого случая Соколова.** В интегрируемом случае Соколова отображение момента  $\mathcal{F}$  сопоставляет точке на многообразии  $M^4$  пару значений функций  $F$  и  $H$  в этой точке:  $x \mapsto (f = F(x), h = H(x))$ . В свою очередь  $H$  и  $F$  являются коэффициентами алгебраической кривой  $\mathcal{C}$ , ассоциированной с системой (1). Алгебраическая кривая  $\mathcal{C}$  указана в работе [6] и с учетом (4) задается в виде

$$\mathcal{C} : a_2 w^4 + a_1 w^2 + a_0 = 0,$$

$$\text{где } a_0 = z^6 - 2hz^4 + \left[ \frac{1}{4}(2h+1)^2 - g^2 - f + b^2 \right] z^2 - b^2 g^2,$$

$$a_1 = -2z^4 + (2h + \lambda^2 - 1)z^2 + g^2 - b^2, \quad a_2 = z^2 + 1.$$

Кривую  $\mathcal{C}$  можно рассматривать как нулевой уровень отображения  $\mathcal{C} : \overline{\mathbb{C}} \times \overline{\mathbb{C}} \rightarrow \overline{\mathbb{C}}$ . Особым точкам кривой  $\mathcal{C}$ , или точкам, в которых она теряет гладкость, отвечает алгебраическая поверхность  $\Delta = \Delta_1 \cup \Delta_2 \cup \Delta_3$  в пространстве констант интегралов  $\mathbb{R}^3(f, h, g)$ . Составляющие части этой поверхности можно представить в параметрическом виде

$$\Delta_i : \begin{cases} f = f_i(g, t), \\ h = h_i(g, t), \end{cases} \quad i = 1, 2, 3,$$

где

$$\begin{aligned} f_1 &= \left( \frac{b^2 g^2}{2t^2} + \frac{1}{2} \right)^2 + \frac{(t + b^2)(t - g^2)}{t}, \quad h_1 = \frac{b^2 g^2}{2t^2} + t, \\ f_{2,3} &= \frac{1}{4} (g^2 + b^2 + \lambda^2)^2 - \lambda^2(1 + g^2) + 2\lambda^2(t + 1) \mp \\ &\quad \mp \frac{1}{2t} \lambda^2(t + 1) \sqrt{(b^2 + g^2)^2 + 4t^2 \lambda^2} + \frac{1}{4t^2} (b^2 + g^2)^2 (1 - t^2), \\ h_{2,3} &= \frac{1}{2} (g^2 - b^2 - \lambda^2 - 1) \pm \frac{1}{2t} (t + 1) \sqrt{(b^2 + g^2)^2 + 4\lambda^2 t^2}. \end{aligned}$$

Объединение  $\Delta_2 \cup \Delta_3$  определяет в  $\mathbb{R}^3(f, h, g)$  дискриминантную поверхность с ребром самопересечения. Параметрические уравнения этого ребра имеют вид

$$f_0 = \frac{1}{4} (g^2 + b^2 + \lambda^2)^2 - \lambda^2(1 + g^2), \quad h_0 = \frac{1}{2} (g^2 - b^2 - \lambda^2 - 1). \quad (8)$$

Выделим действительную часть алгебраической поверхности  $\Delta$ , что и даст бифуркационное множество  $\Sigma$ .

Множеством особенностей отображения момента  $\mathcal{F}$  является множество точек  $M^4$ , в которых функции  $F$  и  $H$  зависимы:  $\mathcal{K} = \{x \in M^4 : \text{rank } d\mathcal{F}(x) < 2\}$ . Замкнутое множество  $\mathcal{K}$  всех критических точек можно стратифицировать рангом отображения момента, т.е. представить его в виде объединения  $\mathcal{K} = \mathcal{K}_0 + \mathcal{K}_1$ , где  $\mathcal{K}_0 = \{x \in M^4 | \text{rank } d\mathcal{F} = 0\}$ ,  $\mathcal{K}_1 = \{x \in M^4 | \text{rank } d\mathcal{F} = 1\}$ .

Можно показать, что точки  $(\mathbf{s}, \mathbf{r}) \in M^4$ , такие, что

$$\begin{aligned} \mathbf{s} &= (-gb, \pm\sqrt{(1+g^2)(1-b^2)-\lambda^2}, -\lambda), \\ \mathbf{r} &= \left(-b, \frac{-\lambda \pm g\sqrt{(1+g^2)(1-b^2)-\lambda^2}}{1+g^2}, \frac{-g\lambda \mp \sqrt{(1+g^2)(1-b^2)-\lambda^2}}{1+g^2}\right), \end{aligned}$$

являются неподвижными для системы (1), т.е. содержатся в  $\mathcal{K}_0$ . Значения первых интегралов в них совпадают с (8). Следовательно, при определенных значениях параметров точка  $H = (f_0, h_0)$  является узловой для бифуркационной диаграммы. Заметим, что при этих значениях алгебраическая кривая приводима. Остальные особенности отображения момента  $\mathcal{F}$  удобно определять из условия

$$\text{rank}(H \times F \times F_2 \times F_1) < 4,$$

проверяя обращение в нуль миноров четвертого порядка. В частности, критическими являются точки в  $M^4$ , лежащие в сечении  $s_2 = 0$  и удовлетворяющие одной из систем

$$\begin{aligned} r_1 &= \frac{-b\lambda s_1 s_3 - b s_1 s_3^2 + g b^2 + g s_1^2}{s_1(b^2 + s_1^2 + s_3^2)}, \\ r_2 &= \frac{\lambda s_1^3 + s_1^3 s_3 + s_1 s_3^2 \lambda + s_1 s_3^3 - s_3 g b}{s_1(b^2 + s_1^2 + s_3^2)}, \quad r_3 = \frac{s_3 g + \lambda b s_1 + s_1 b s_3}{b^2 + s_1^2 + s_3^2} \end{aligned}$$

или

$$\lambda^2 r_2 + \lambda(2s_3 r_2 - r_2^2 - 1) + r_2(1 - 2s_3 r_2 + 2br_1 - s_1^2) = 0,$$

$$br_2 + r_1 s_3 - s_1 r_3 = 0$$

(все миноры четвертого порядка матрицы Якоби отображения момента обращаются в нуль). В первом случае значения первых интегралов принадлежат

поверхности  $\Delta_1$  при  $t = bg/s_1$ . Этим определяется действительная часть алгебраической поверхности  $\Delta_1$ . Во втором случае значения первых интегралов могут быть записаны в виде

$$\begin{aligned} f &= \frac{1}{4} (g^2 + b^2 + \lambda^2)^2 - \lambda^2(1 + g^2) + \frac{1}{4r_2^2(1 - r_2^2)} u_1 \cdot v_1, \\ h &= \frac{1}{2} (g^2 - b^2 - \lambda^2 - 1) + \frac{1 + r_2^2}{2r_2(1 - r_2^2)} u_1, \end{aligned} \quad (9)$$

где  $u_1 = r_2(b^2 + g^2) + \lambda(1 - r_2^2)$ ,  
 $v_1 = \lambda(r_2^4 + 6r_2^2 + 1) - r_2(1 - r_2^2)(b^2 + g^2) - 2\lambda^2 r_2(1 + r_2^2)$ .

Значения (9) удовлетворяют уравнениям поверхности  $\Delta_2 \cup \Delta_3$ , выделяя на ней вещественную часть. Переменная  $t$  в этом случае выражается по формуле

$$t = \frac{(b^2 + g^2)r_2}{\lambda(1 - r_2^2)}.$$

Таким образом, бифуркационное множество  $\Sigma$  в случае общего положения ( $\lambda b g \neq 0$ ) состоит из двух поверхностей  $\gamma_1$  и  $\gamma_2$ , параметрические уравнения которых имеют следующий вид:

$$\begin{aligned} \gamma_1 : & \left\{ \begin{array}{l} f = \frac{1}{4} (t^2 + 1)^2 + \frac{(b - tg)(g + tb)}{t}, \\ h = \frac{1}{2} t^2 + \frac{gb}{t}, \end{array} \right. \quad t \in \mathbb{R} \setminus \{0\}, \\ \gamma_2 : & \left\{ \begin{array}{l} f = \frac{1}{4} (g^2 + b^2 + \lambda^2)^2 - \lambda^2(1 + g^2) + \frac{1}{4s^2(1 - s^2)} uv, \\ h = \frac{1}{2} (g^2 - b^2 - \lambda^2 - 1) + \frac{1 + s^2}{2s(1 - s^2)} u, \end{array} \right. \quad s \in \mathbb{R} \setminus \{-1, 0, 1\}. \end{aligned} \quad (10)$$

Здесь обозначено

$$\begin{aligned} u &= s(b^2 + g^2) + \lambda(1 - s^2), \\ v &= \lambda(s^4 + 6s^2 + 1) - s(1 - s^2)(b^2 + g^2) - 2\lambda^2 s(1 + s^2). \end{aligned}$$

Выкладки существенно упрощаются при обращении в нуль одного из параметров  $\lambda, b$ , а также при нулевой постоянной площадей  $g$ . Покажем на примере, как связано критическое множество с алгебраической кривой. Пусть  $b = 0, \lambda \neq 0$ . Уравнение

$$\begin{aligned} &r_2^2 s_2^2 s_3 + 2\lambda s_3^3 r_2 + 3\lambda^2 r_2 s_3^2 - 2s_3^2 r_3^2 r_2 + 2s_3 r_3^3 s_2 - r_3^2 \lambda s_3^2 + \lambda^3 r_2 s_3 - \lambda r_2^3 s_3 + \\ &+ \lambda s_2^3 r_3 - s_2^2 r_2 s_3^2 + s_2 \lambda r_3^3 + s_2^3 s_3 r_3 + s_2 s_3 r_3 - s_2 \lambda^3 r_3 + r_2^2 \lambda s_2^2 - 3s_2 s_3 \lambda^2 r_3 + \\ &+ s_3 - r_2 s_3^2 - \lambda s_2^2 r_2 s_3 + 2r_2^2 s_3^3 - 2r_2^3 s_3^2 - \lambda^2 s_3 + 2s_2^2 \lambda r_3^2 + 3s_3 r_3^2 s_2^2 - 2s_2 \lambda s_3^2 r_3 - \\ &- 2r_3 r_2 \lambda s_2 s_3 + 2r_2^2 s_3 r_3 s_2 - 4s_2 r_3 r_2 s_3^2 + s_2 \lambda r_2^2 r_3 - \lambda r_2 s_3 r_3^2 = 0 \end{aligned} \quad (11)$$

определяет критическое множество при  $s_1 = r_1 = 0$ . Введем подстановку

$$r_2 = \frac{s_2 y - s_3 x}{s_2^2 + s_3^2}, \quad r_3 = \frac{s_2 x + s_3 y}{s_2^2 + s_3^2}.$$

С учетом того, что  $x^2 + y^2 = s_2^2 + s_3^2$ , из уравнения (11) получим

$$\begin{aligned} \lambda x^3 + s_3 x^3 + 2\lambda x^2 + 3s_3 x^2 + \lambda y^2 x - 3\lambda x s_3^2 - s_3^3 x - \lambda^3 x + s_3 y^2 x - \\ - 3s_3 \lambda^2 x + \lambda x + 3s_3 x + s_3 + \lambda y^2 - 2\lambda s_3^2 - s_3 \lambda^2 - s_3^3 + s_3 y^2 = 0. \end{aligned}$$

Наконец, полагая  $q = x + 1$ ,  $p = s_3 + \lambda$ , получаем алгебраическую кривую

$$\Gamma : \lambda(p^2 - q^2) - p q(p^2 - q^2 - g^2) = 0. \quad (12)$$

Таким образом, уравнение (11) равносильно (12). Кривая  $\Gamma$  допускает параметризацию в виде уравнений

$$p = \sqrt{\frac{\lambda s^2 - g^2 s - \lambda}{s(s^2 - 1)}}, \quad q = \sqrt{\frac{(\lambda s^2 - g^2 s - \lambda)s}{s^2 - 1}}.$$

Соответствующие бифуркационные кривые совпадают с  $\gamma_2$ , если положить  $b = 0$  в уравнении (10).

Для построения  $\Sigma = \gamma_1 \cup \gamma_2$  необходимо найти условия, при которых действительные куски поверхностей  $\gamma_1$  и  $\gamma_2$  имеют общие точки: точки касания, точки возврата, точки пересечения. Совокупность всех таких поверхностей в  $\mathbb{R}^3(g, b, \lambda)$  даст разделяющее множество (атлас) для классификации всех бифуркационных диаграмм.

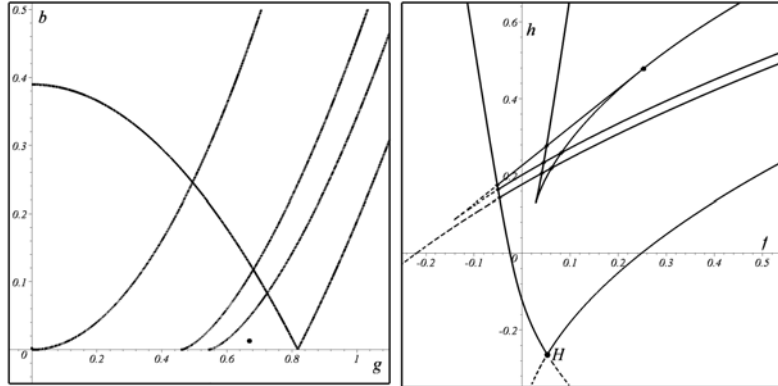


Рис. 1. Фрагмент разделяющего множества в сечении  $\lambda = 0,06$  и бифуркационная диаграмма для  $g = 0,69; b = 0,02$ .

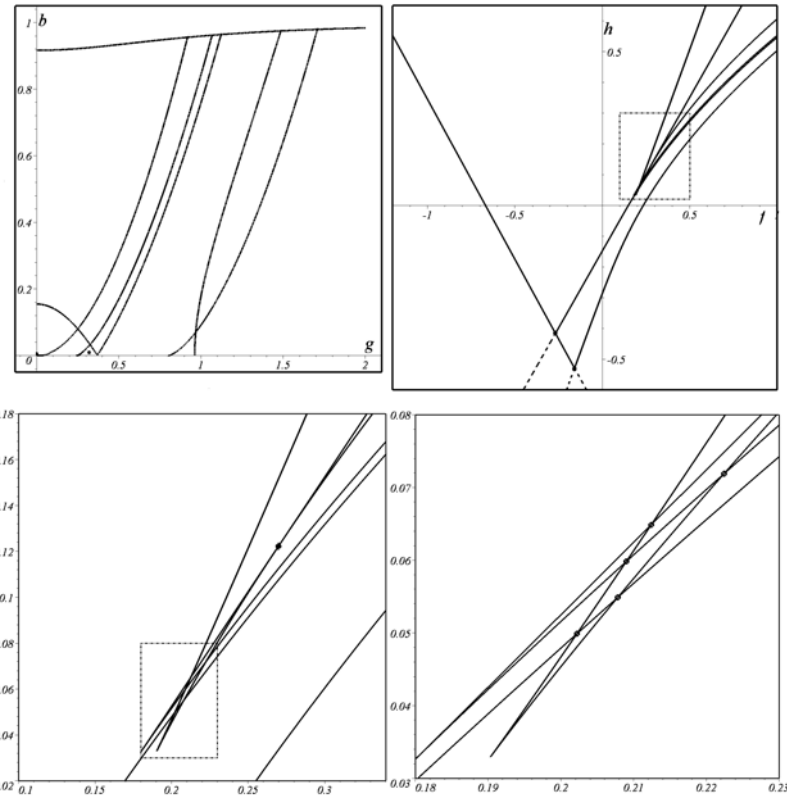


Рис. 2. Разделяющее множество в сечении  $\lambda = 0,4$   
и бифуркационная диаграмма для  $g = 0,32; b = 0,01$ .

Наиболее сложным является построение дискриминанта многочлена 14-ой степени  $P(s)$ , который отвечает за бифуркации точек пересечения алгебраических поверхностей  $\gamma_1$  и  $\gamma_2$ . Кроме того, как оказалось, многочлен  $P(s)$  отвечает и за изменения топологического типа изоэнергетического многообразия  $Q^3 = \{x \in M^4 : H(x) = h\}$ . На этом этапе был использован пакет аналитических вычислений Maple. В результате исключения переменной  $s$  из системы  $P(s) = 0, P'(s) = 0$  получено выражение вида  $WV^3 = 0$ , что позволяет численно построить вместе с другими разделяющими поверхностями атлас в сечениях  $\lambda = \text{const}$ . На рис. 1 и рис. 2 приведены примеры разделяющего множества. Для выбранного сечения  $\lambda = \lambda_0$  разделяющие кривые делят плоскость параметров  $(g, b)$  на области. Внутри каждой области бифуркационная диаграмма устойчива по отношению к изменениям параметров. Для построения бифуркационной диаграммы достаточно взять по одной пробной точке  $(g_0, b_0)$  в каждой из этих областей.

**3. Разделяющее множество и бифуркационные диаграммы гиростата Ковалевской в двойном поле сил.** Для интегрируемого случая гиростата Ковалевской в двойном поле сил соответствующее отображение

момента  $\mathcal{F}$  сопоставляет точке на  $M^6$  тройку значений функций  $H$ ,  $F$  и  $G$  в этой точке:  $x \mapsto (f = F(x), h = H(x), g = G(x))$ . Как и в случае Соколова, функции  $H$ ,  $F$  и  $G$  являются коэффициентами алгебраической кривой  $\mathcal{C}$ , ассоциированной с системой (5). Алгебраическая кривая  $\mathcal{C}$  имеет вид [11]

$$\mathcal{C} : w^4 - 2d_1(z^2)w^2 + d_2(z^2) = 0, \quad (13)$$

где  $d_1 = \frac{p^2}{z^2} - 2(2h + \lambda^2) + 8z^2,$

$$d_2 = \frac{r^4}{z^4} - \frac{4[p^2(2h + \lambda^2) - 4g]}{z^2} + 16(k + 2h\lambda^2) - 64\lambda^2z^2.$$

Здесь введены обозначения  $p^2 = a^2 + b^2$ ,  $r^2 = a^2 - b^2$ .

Особые точки кривой  $\mathcal{C}$  лежат на алгебраической поверхности  $\Delta = \Delta_1 \cup \Delta_2$  в пространстве констант интегралов  $\mathbb{R}^3(g, k, h)$ . Эту поверхность после замены  $s = 2z^2$  можно представить в параметрическом виде

$$\begin{aligned} \Delta_1 : & \left\{ \begin{array}{l} k = \frac{r^4}{4s^2} - 2\lambda^2h + 4\lambda^2s, \\ g = -\frac{r^4}{4s} + \frac{p^2}{2}(h + \frac{\lambda^2}{2}) - \lambda^2s^2, \end{array} \right. \\ \Delta_2 : & \left\{ \begin{array}{l} k = -\frac{p^4 - r^4}{4s^2} + p^2 + (h - \frac{\lambda^2}{2})^2 - 4(h - \frac{\lambda^2}{2})s + 3s^2, \\ g = \frac{p^4 - r^4}{4s} + (h - \frac{\lambda^2}{2})s^2 - s^3, \end{array} \right. \end{aligned} \quad (14)$$

или

$$\begin{aligned} \Delta'_1 : & \left\{ \begin{array}{l} k = \frac{r^4}{4s^2} - \frac{\lambda^2r^4}{p^2s} + \lambda^4 - \frac{4\lambda^2g}{p^2} + 4\lambda^2s - \frac{4\lambda^4}{p^2}s^2, \\ h = \frac{r^4}{2p^2s} - \frac{\lambda^2}{2} + \frac{2g}{p^2} + \frac{2\lambda^2}{p^2}s^2, \end{array} \right. \\ \Delta'_2 : & \left\{ \begin{array}{l} k = \frac{(p^4 - r^4)^2}{16s^6} - \frac{(p^4 - r^4)g}{2s^5} + \frac{g^2}{s^4} + \frac{p^4 - r^4}{4s^2} - \frac{2g}{s} + p^2, \\ h = -\frac{p^4 - r^4}{4s^3} + \frac{g}{s^2} + \frac{\lambda^2}{2} + s. \end{array} \right. \end{aligned}$$

Первое представление удобно тем, что оно нумеруется значениями  $h$ , а соответствующие многообразия  $Q_h^5 = \{x \in M^6 : H = h\}$  компактны. Кроме того, легко прослеживать аналогии с волчком Ковалевской в двойном поле [8, 13]. Второе представление удобно для сравнения со случаем Ковалевской–Яхьи–Комарова и классическим волчком Ковалевской. Интересно отметить, что при сдвиге  $h \rightarrow \tilde{h} + \lambda^2/2$ , уравнения поверхности  $\Delta'_2$  совпадают с уравнениями бифуркационной поверхности  $\Gamma_3$  работы [8] (см. также [14], где такой сдвиг принят изначально).

Множество  $\mathcal{K}$  всех критических точек отображения момента  $\mathcal{F}$  можно представить в виде объединения

$$\mathcal{K} = \mathcal{K}_0 + \mathcal{K}_1 + \mathcal{K}_2,$$

где  $\mathcal{K}_n = \{x \in M^6 \mid \text{rank } d\mathcal{F} = n\}$ ,  $n = 0, 1, 2$ . Множество  $\mathcal{K}_0$  исчерпывается четырьмя неподвижными точками системы (5)

$$\omega_1 = \omega_2 = \omega_3 = 0, \quad \beta_1 = \beta_3 = \alpha_2 = \alpha_3 = 0, \quad \alpha_1 = \pm a, \quad \beta_2 = \pm b.$$

Соответствующие значения первых интегралов при фиксированных постоянных  $a, b$  образуют нульмерный остов бифуркационной диаграммы. Как несложно проверить, в этих четырех точках алгебраическая кривая  $\mathcal{C}$  является приводимой, т.е. левая часть ее уравнения раскладывается в произведение двух многочленов. Координаты соответствующих точек в  $\mathbb{R}^3(g, k, h)$  следующие

$$\begin{aligned} H_1 : \quad & g_1 = -\frac{ab(\lambda^2 + 2a + 2b)}{2}, \quad k_1 = (a - b)^2, \quad h_1 = -a - b; \\ H_2 : \quad & g_2 = \frac{ab(\lambda^2 + 2a - 2b)}{2}, \quad k_2 = (a + b)^2, \quad h_2 = -a + b; \\ H_3 : \quad & g_3 = -\frac{ab(2a - 2b - \lambda^2)}{2}, \quad k_3 = (a + b)^2, \quad h_3 = a - b; \\ H_4 : \quad & g_4 := \frac{ab(2a + 2b - \lambda^2)}{2}, \quad k_4 = (a - b)^2, \quad h_4 = a + b. \end{aligned} \tag{15}$$

Напомним, что  $a = 1$ ,  $b = m$ ,  $0 < m < 1$ . В пространстве собственных параметров  $\mathbb{R}^3(h, m, \lambda)$  образы  $H_k$  порождают четыре полосы:  $h = -1 - m$ ,  $h = -1 + m$ ,  $h = 1 - m$  и  $h = 1 + m$  ( $0 < m < 1$ ), которые являются разделяющими, поскольку при переходе через них меняется топологический тип изоэнергетического многообразия  $Q_h^5$  [15]. Точки  $H_1$  и  $H_4$  принадлежат прямой  $\delta_1$ , заданной параметрически системой

$$\begin{cases} k = p^2 - 2m, \\ g = \frac{m(2h - \lambda^2)}{2}, \end{cases} \quad h \in \mathbb{R}, \tag{16}$$

а точки  $H_2$  и  $H_4$  – прямой  $\delta_2$ :

$$\begin{cases} k = p^2 + 2m, \\ g = -\frac{m(2h - \lambda^2)}{2}, \end{cases} \quad h \in \mathbb{R}. \tag{17}$$

На этих прямых алгебраическая кривая  $\mathcal{C}$  также приводима. Условия приводимости в виде соотношений (16), (17) можно получить, выделяя полный квадрат в дискриминанте уравнения (13). Прообразам этих прямых соответствуют маятниковые движения с определенными ограничениями на  $h$  [14].

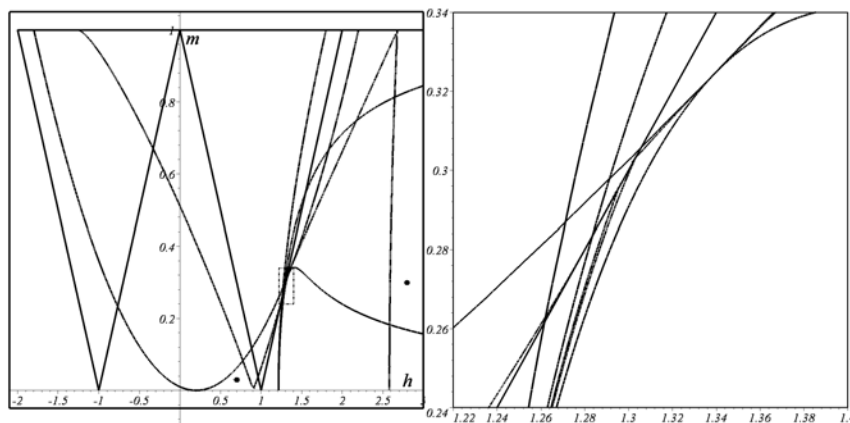


Рис. 3. Разделяющее множество для сечения  $\lambda = 0,04$  и его увеличенный фрагмент.

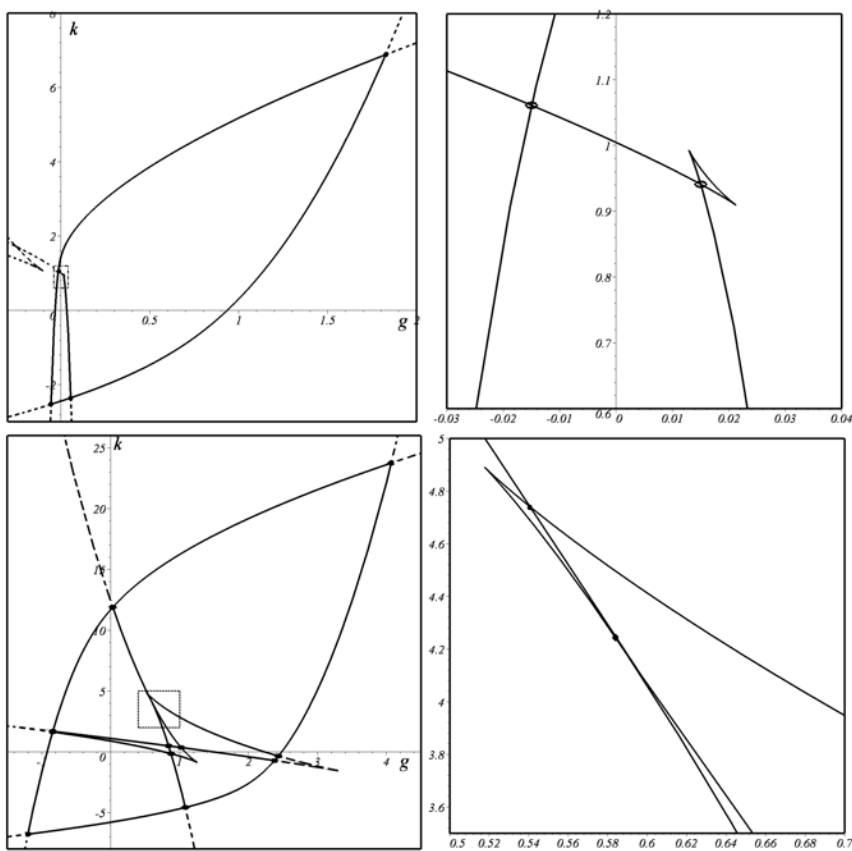


Рис. 4. Бифуркационные диаграммы на изоэнергетических уровнях  $h = 0,7$  и  $h = 2,8$  соответственно.

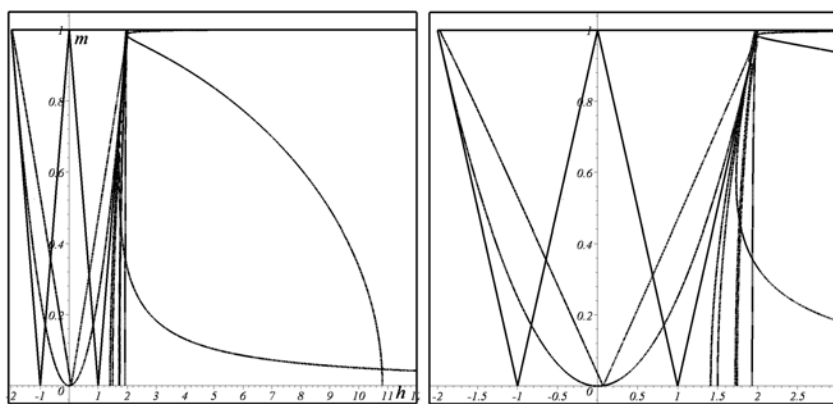


Рис. 5. Разделяющее множество для сечения  $\lambda = 0,000001$   
и его увеличенный фрагмент.

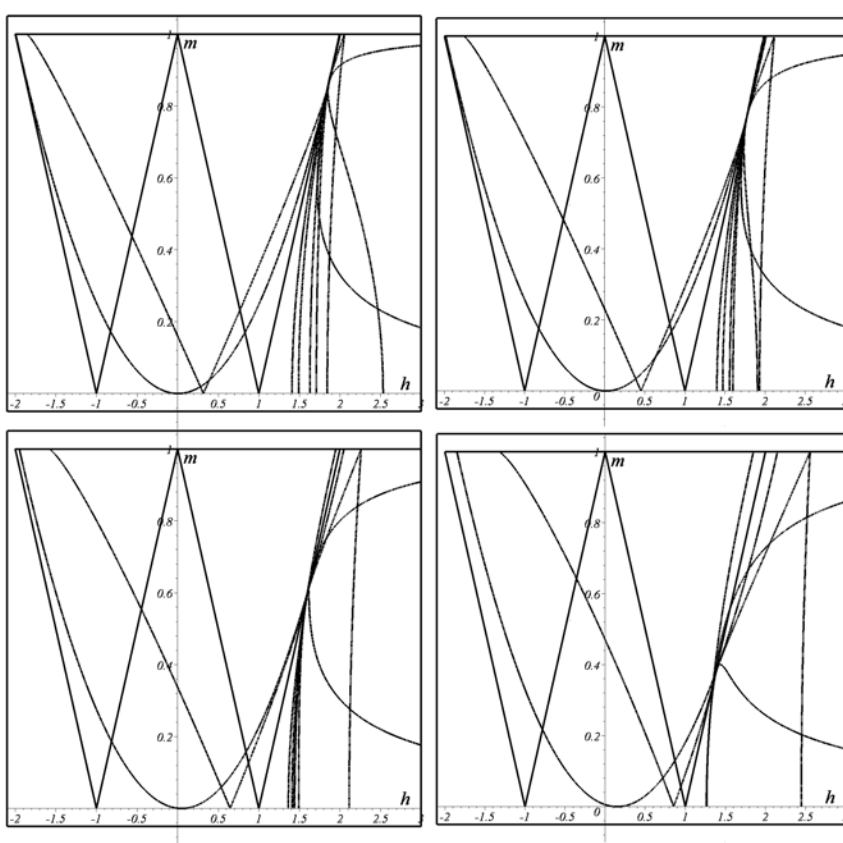


Рис. 6. Атлас разделяющего множества при увеличении параметра гиростатического момента  $\lambda$ .

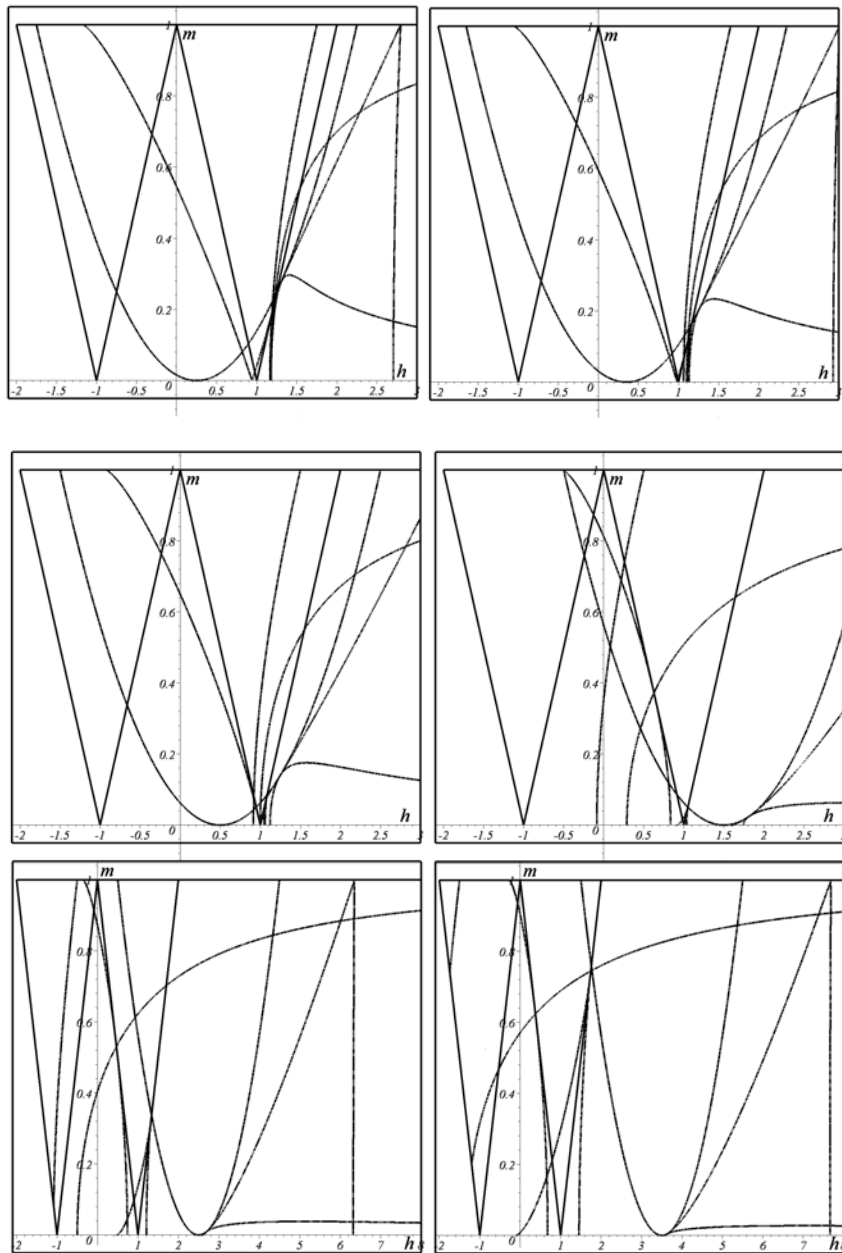


Рис. 7. Атлас разделяющего множества (продолжение).

Ранг отображения момента на этих отрезках равен 1, следовательно, эти отрезки входят в одномерный остов бифуркационной диаграммы. Кроме того, в работе [14] указана параметризация для *всех* остальных особых периодических движений, на которых  $\text{rank } \mathcal{F} = 1$ , что позволяет построить бифуркационную диаграмму  $\Sigma$  как двумерный клеточный комплекс. Можно выдвинуть

нуть предположение, что условиям *приводимости* алгебраической кривой  $\mathcal{C}$  и условиям *наличия особой точки* соответствует поверхность в пространстве постоянных первых интегралов, несущая бифуркационную диаграмму. Выделяя на ней нульмерный и одномерный остовы, вырезаем собственно бифуркационную диаграмму – ту часть найденной поверхности, которая соответствует условиям существования вещественных решений уравнений движения. Для волчка в двойном поле такая программа реализована в [16, 13]. В случае гиростата Ковалевской условия приводимости исчерпываются уравнениями (15)–(17). Остальная часть одномерного остова порождается решениями, указанными в [14]. Как стало известно автору, М.П. Харламовым [17] получены уравнения всех критических подмногообразий в  $M^6$ , образ которых является фактической частью бифуркационной диаграммы  $\Sigma$  в составе поверхностей (14).

Для построения  $\Sigma$  необходимо найти условия, при которых действительные куски алгебраических поверхностей  $\Delta_1$  и  $\Delta_2$  имеют общие точки: точки касания, точки возврата, точки пересечения. Совокупность всех таких поверхностей в  $\mathbb{R}^3(h, m, \lambda)$  даст разделяющее множество в дополнение к уже имеющимся четырем плоскостям. Наиболее трудным, как и в случае Соколова, оказалось построение дискриминанта многочлена 12-й степени  $P(s)$ , который отвечает за бифуркации точек пересечения. Исключение переменной  $s$  из системы  $P(s) = 0, P'(s) = 0$  привело к выражению  $WV^3 = 0$ , что окончательно позволяет численно построить разделяющее множество в сечениях  $\lambda = \text{const}$  и соответствующие бифуркационные диаграммы. Примеры разделяющего множества и бифуркационных диаграмм для выбранных значений параметров приведены на рис. 3, 4. На рис. 5, 6, 7 изображено разделяющее множество с увеличением параметра гиростатического момента  $\lambda$ . Видно, как пучок кривых начинает изменяться, появляются новые кривые, которые перестраиваются, образуя новые области, а, следовательно, новый тип бифуркационной диаграммы, в конечном итоге определяя новые слоения Лиувилля на изоэнергетических многообразиях.

Таким образом, для гиростата Ковалевской в двойном поле сил построен атлас (разделяющее множество), который позволяет классифицировать все бифуркационные диаграммы.

Автор благодарит М.П. Харламова, чьи критические замечания и советы помогли осознать новую задачу (гиростат Ковалевской в двойном поле).

1. Харламов П.В., Мозалевская Г.В., Лесина М.Е. О различных представлениях уравнений Кирхгофа // Механика твердого тела. – 2001. – Вып. 31. – С. 3–17.
2. Ламб Г. Гидродинамика. – М.;Л.: Гостехиздат, 1947. – 928 с.
3. Харламов П.В. О движении в жидкости тела, ограниченного многосвязной поверхностью // Прикл. мех. и техн. физ. – 1963. – Вып. 4. – С. 17–29.
4. Соколов В.В. Новый интегрируемый случай для уравнений Кирхгофа // Теор. и мат. физ. – 2001. – **129**, вып. 1 – С. 31–36.
5. Соколов В.В. A generalized Kowalewski Hamiltonian and new integrable cases on  $e(3)$  and  $so(4)$  // In “Kowalevski property”/ Ed. V.B. Kuznetsov. – CRM Proc. and Lect. Notes, AMS. – 2002. – P. 307–315.

6. Соколов В.В., Цыганов А.В. Пары Лакса для деформированных волчков Ковалевской и Горячева–Чаплыгина // Теор. и мат. физ. – 2002. – **131**, вып. 1 – С. 118–125.
7. Komarov I.V., Sokolov V.V., Tsiganov A.V. Poisson maps and integrable deformations of the Kowalevski top // J. Phys. A: Math. Gen. – 2003. – **36**. – Р. 8035–8048.
8. Харламов М.П. Критическое множество и бифуркационная диаграмма задачи о движении волчка Ковалевской в двойном поле // Механика твердого тела. – 2004. – Вып. 34. – С. 47–58.
9. Боголюбенский О.И. Интегрируемые уравнения Эйлера на алгебрах Ли, возникающие в задачах математической физики // Изв. АН СССР. Сер. математика. – 1984. – **48**, № 5. – С. 883–938.
10. Yehia H. New integrable cases in the dynamics of rigid bodies // Mech. Res. Commun. – 1986. – **13**, № 3. – Р. 169–172.
11. Bobenko A.I., Reyman A.G., Semenov-Tian-Shansky M. A. The Kowalewski top 99 years later: a Lax pair, generalizations and explicit solutions // Commun. Math. Phys. – 1989. – **122**, № 2. – Р. 321–354.
12. Болсинов А.В., Фоменко А.Т. Интегрируемые гамильтоновы системы. Геометрия, топология, классификация. В 2-х т. – Ижевск: Изд-во РХД, 1999. – Т. 1. – 444 с.; Т. 2. – 448 с.
13. Харламов М.П. Области существования критических движений обобщенного волчка Ковалевской и бифуркационные диаграммы // Механика твердого тела. – 2006. – Вып. 36. – С. 13–22.
14. Харламов М.П. Особые периодические движения гиростата Ковалевской в двойном поле // См. статью в наст. сб. – С. 85–96.
15. Kharlamov M.P., Zotev D.B. Non-degenerate energy surfaces of rigid body in two constant fields // Regular and Chaotic Dynamics. – 2005. – **10**, № 1. – Р. 15–19.
16. Kharlamov M.P. Bifurcation diagrams of the Kowalevski top in two constant fields // Ibid. – 2005. – **10**, № 4. – Р. 381–398.
17. Харламов М.П. Критические подсистемы гиростата Ковалевской в двух постоянных полях // Нелинейная динамика. – 2007. – **3**, № 3. – С. 331–348.

Финанс. акад. при правительстве РФ, Москва, Россия  
orelryabov@mtu-net.ru; orelryabov@mail.ru

Получено 05.09.07